

Lokalizační diagnostika zánětů

MUDr.Kateřina Táborská
KNME UK 2.LF a FN MOTOL Praha

INDIKÁTORY

značené leukocyty

$^{67}\text{Gallium}$ – citrát

^{18}FDG

$^{99\text{m}}\text{Tc MDP}$

budoucnost : značená antibiotika

Značené leukocyty

akumulace ZL v místě zánětu závisí :

- 1) intaktní chemotaxi
- 2) počtu a typu označených leukocytů
 $2 \times 10^9 / l$, neutrofily
- 3) buněčné složce vlastní zánětlivé odpovědi
neutrofily – bakteriální infekce

Značené leukocyty

1) In vitro:

^{111}In – oxin

$^{99\text{m}}\text{Tc}$ - HMPAO (hexamethylpropyleneamine oxime)

2) In vivo:

$^{99\text{m}}\text{Tc}$ protilátky vázané na povrchové antigeny granulocytů

Značené leukocyty in vitro

^{111}In – oxine

$^{99\text{m}}\text{Tc}$ - HMPAO

odebrání 60ml

separace leukocytů

inkubace s radiofarmakem

reinjekce

Značené leukocyty in vivo

^{99m}Tc protilátky vázané na povrchové antigeny granulocytů (Scintimun Granulocyte)

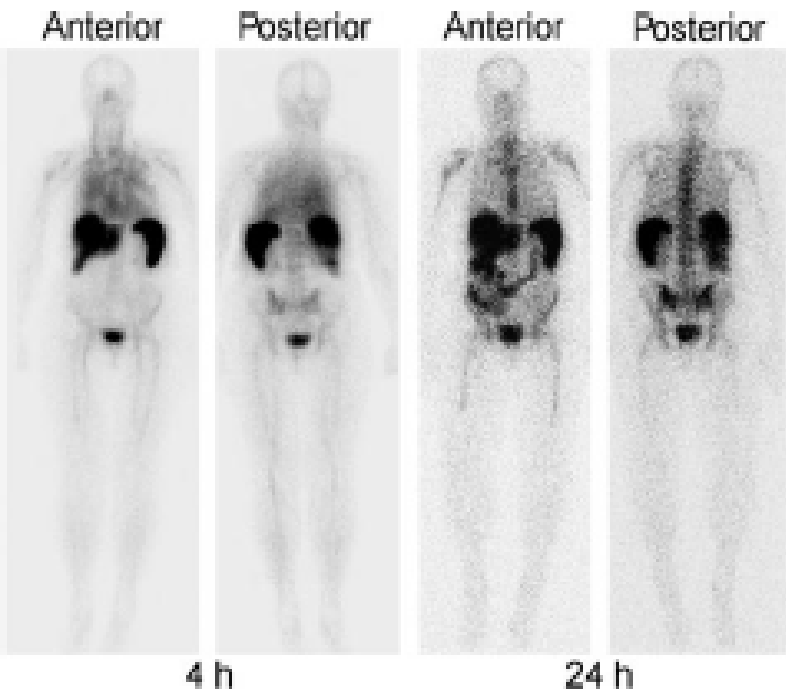
výhoda: snadná příprava

nevýhoda: potencionální tvorba protilátek HAMA (human antimouse antibody)

anafylaktický šok při opakovém podání

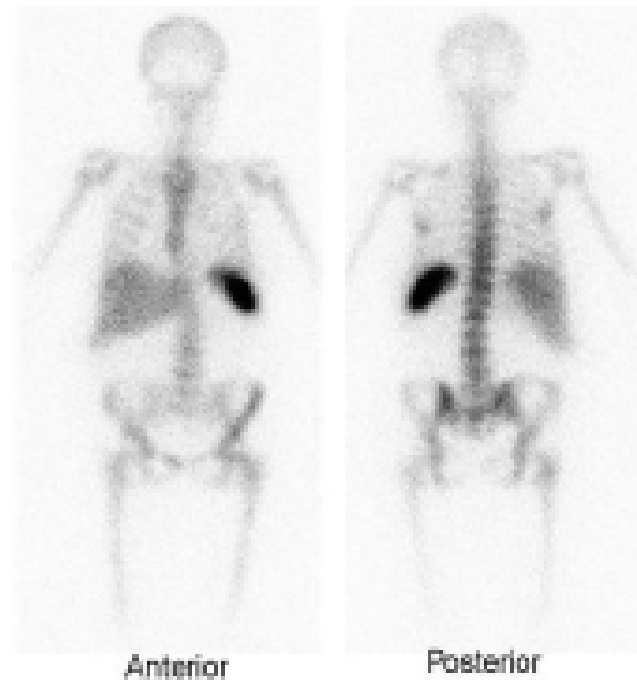
^{99m}Tc - HMPAO

T $\frac{1}{2}$ 6h, 140 keV



^{111}In - oxin

T $\frac{1}{2}$ 67h, 174, 247 keV



snímání: 1,4-6,24 h

24 h

distribuce: játra, slezina, kostní dřeň

močový a střevní trakt (Tc)

Značené leukocyty in vitro

Indikace:

^{111}In – oxine:

záněty ledvin, chronické infekce

$^{99\text{m}}\text{Tc}$ - HMPAO :

**zánětlivá střevní onemocnění (m.Chrohn,
colitis ulcerosa)**

osteomyelitis

infekce cévní nebo ortopedické náhrady

$^{67}\text{Gallium} - \text{citrát}$

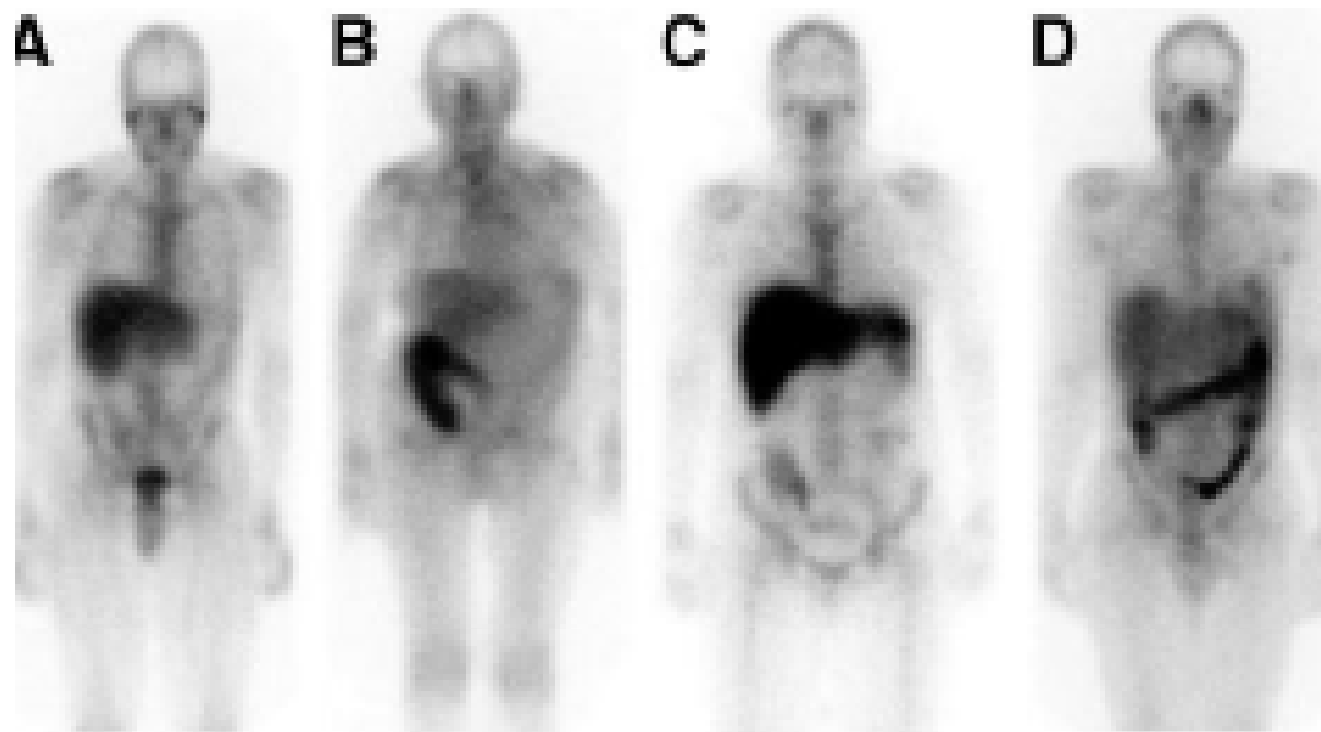
^{67}Ga T $\frac{1}{2}$ 78 h, γ 93,184, 296, 338 keV

- 1. vazba na transferrin v plazmě**
- 2. hyperémie a zvýšená permeabilita v místě zánětu**
- 3. vazba na laktot ferrin, který je přítomný ve vysoké koncentraci v místě zánětu**
- 4. vazba na leukocyty**
- 5. přímý uptake baktérií**

$^{67}\text{Gallium}$ –citrát

snímání: 18-72 h

**distribuce: skelet, kostní dřeň, játra, slezina,
močový a zažívací trakt**



$^{67}\text{Gallium}$ –citrát:

indikace

**vertebrální osteomyelitida
oportunní respirační infekce**

^{18}FDG PET

^{18}F , T $\frac{1}{2}$ 110min

analog glukózy, spotřeba glukózy

Zvýšená exprese transportérů glukózy na povrchu buněk aktivovaných při zánětu

Cytokiny a růstový faktor zvyšují afinitu glukózových transportérů pro FDG

snímání:

1 h

fyziologická distribuce: mozek, játra, slezina, kostní dřeň

$^{18}\text{FDG PET}$

Indikace

**horečka neznámého původu
vaskulity**

INDIKACE

HOREČKA NEZNÁMÉHO PŮVODU

Alespoň 3 týdny, několik špiček s teplotou vyšší než 38°C , diagnóza není stanovena po příslušných vyšetřeních

1/3 infekce

1/3 neoplázie

1/3 autoimunní onemocnění

Horečka neznámého původu

trvání onemocnění:

časně

Značené leukocyty: negativní studie vylučuje infekční fokus

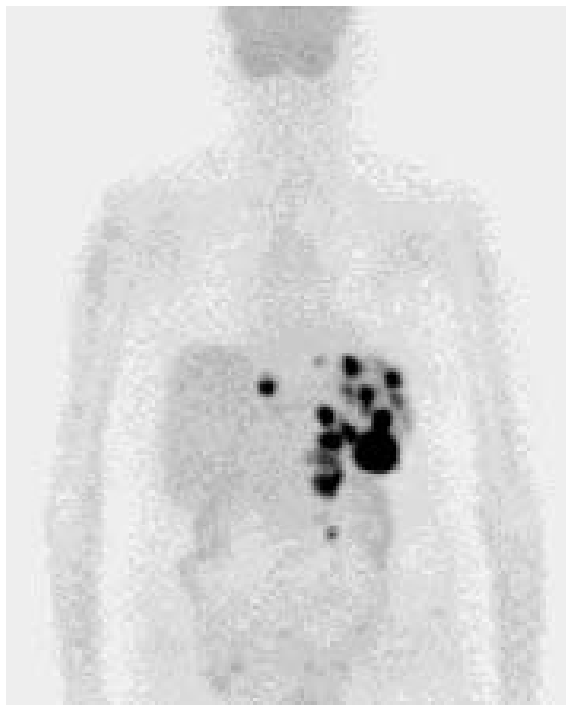
později

**^{18}FDG , ^{67}Ga – granulomatózní záněty,
tumory**

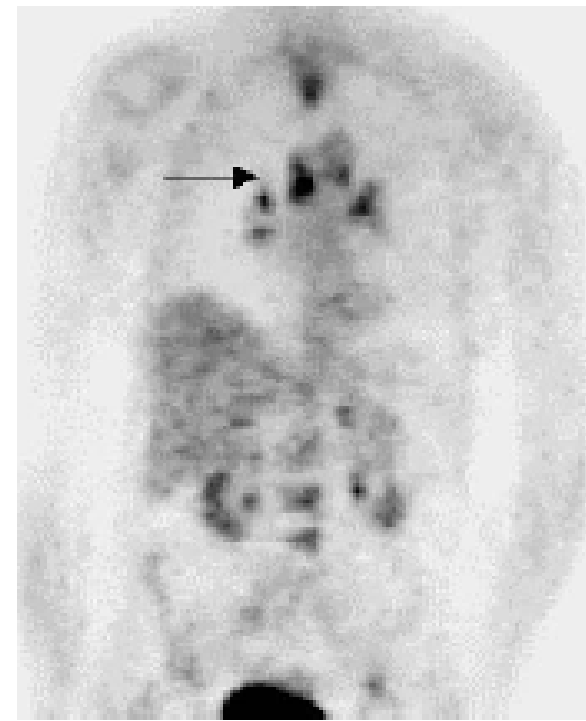
Horečka neznámého původu

^{18}FDG

NHL



sarkoidóza



**Oportunní infekce
pacienti s imunodefektem (AIDS)
Časté postižení plic
67Ga citrát pneumocystová pneumonie**

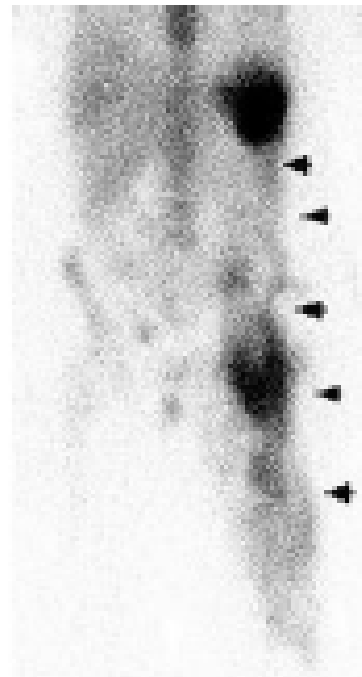


Pooperační infekce

Nitrobřišní záněty, komplementární k CT

odlišení pooperačních změn od infekce

značené leukocyty



Osteomyelitida

Kost bez předchozího postižení

3F scintigrafie skeletu

Kost po úrazu, operaci

3F scintigrafie skeletu + 67 Ga citrate

3F scintigrafie skeletu + značené leukocyty

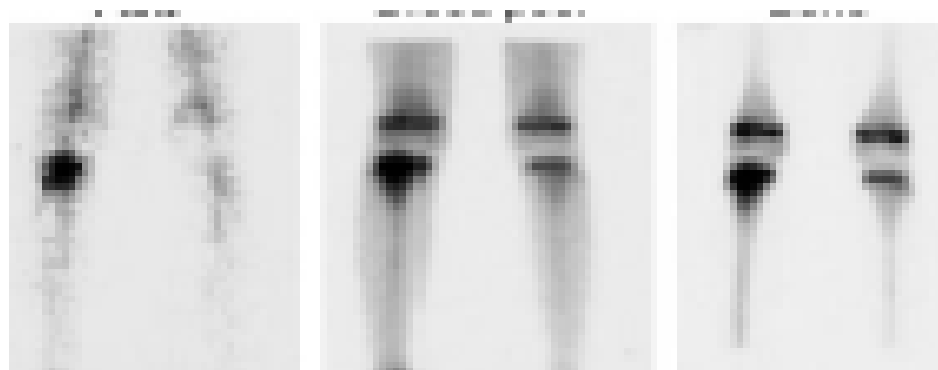
Značené leukocyty + zobrazení kostní dřeně pomocí
sulfur koloidu

Osteomyelitida

Třífázová kostní scintigrafie:

Vysoká senzitivita a specificita (85-90%)

- fokální hyperperfuze
- fokální hyperémie
- fokálně zvýšená kostní aktivita



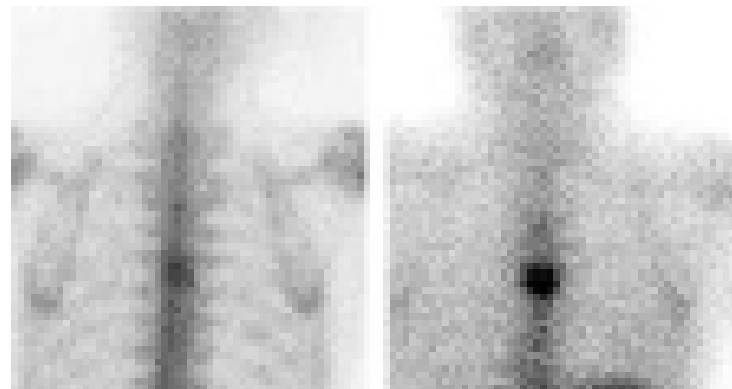
Osteomyelitida

3F-kostní scintigrafie + ^{67}Ga citrát

zvyšuje specificitu: distribuce je místně shodná, relativní intenzita signálu vychytávání ^{67}Ga citrátu je vyšší než $^{99\text{m}}\text{Tc}$ MDP

vertebrální osteomyelitida

alternativa k MR, když nelze provést nebo je nediagnostická



Implantované endoprotézy

dif.dg.infekce a aseptického uvolnění

**značené leukocyty + zobrazení kostní dřeně
pomocí 99m Tc –sulfur koloidu**

